

FIG. 1

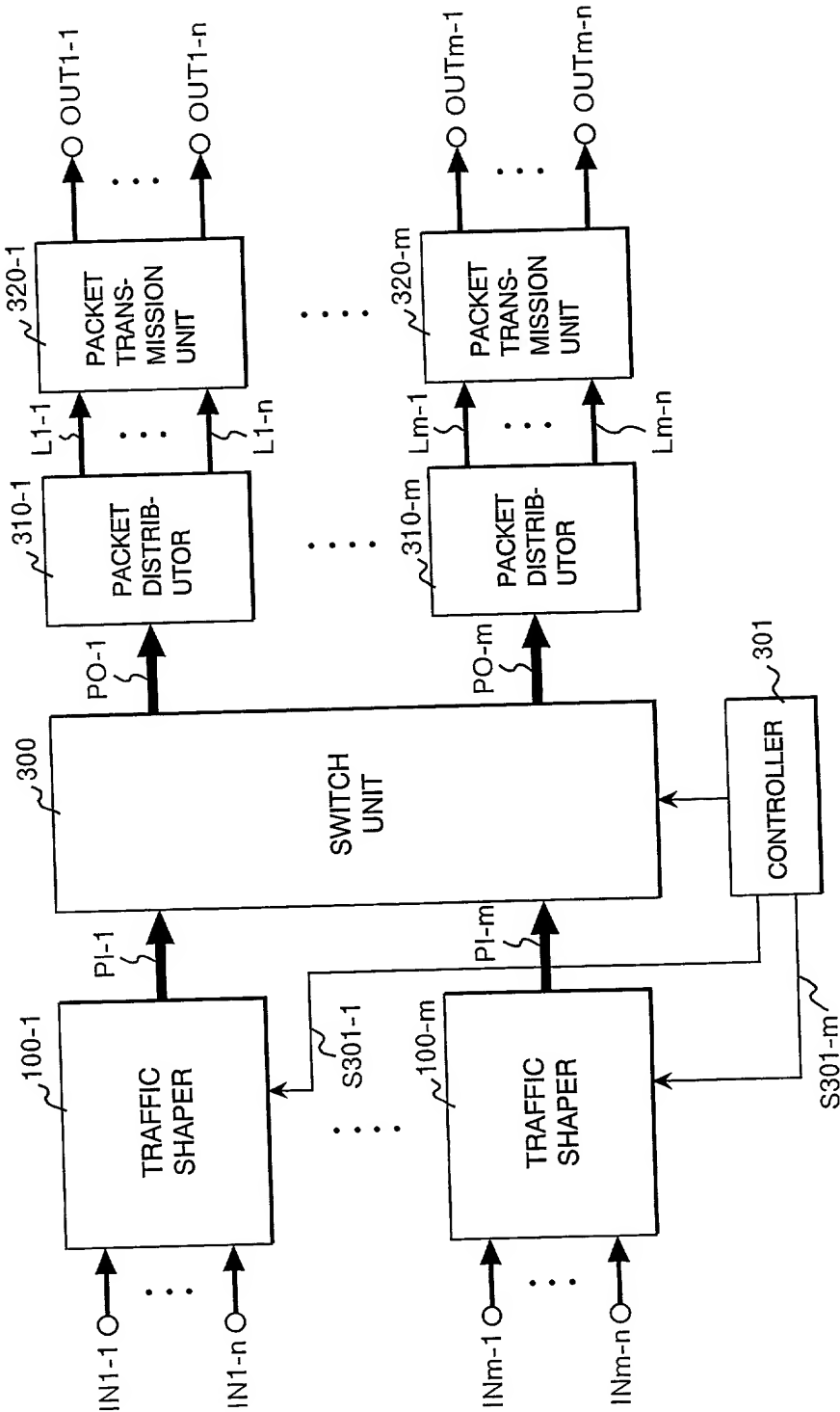


FIG. 2

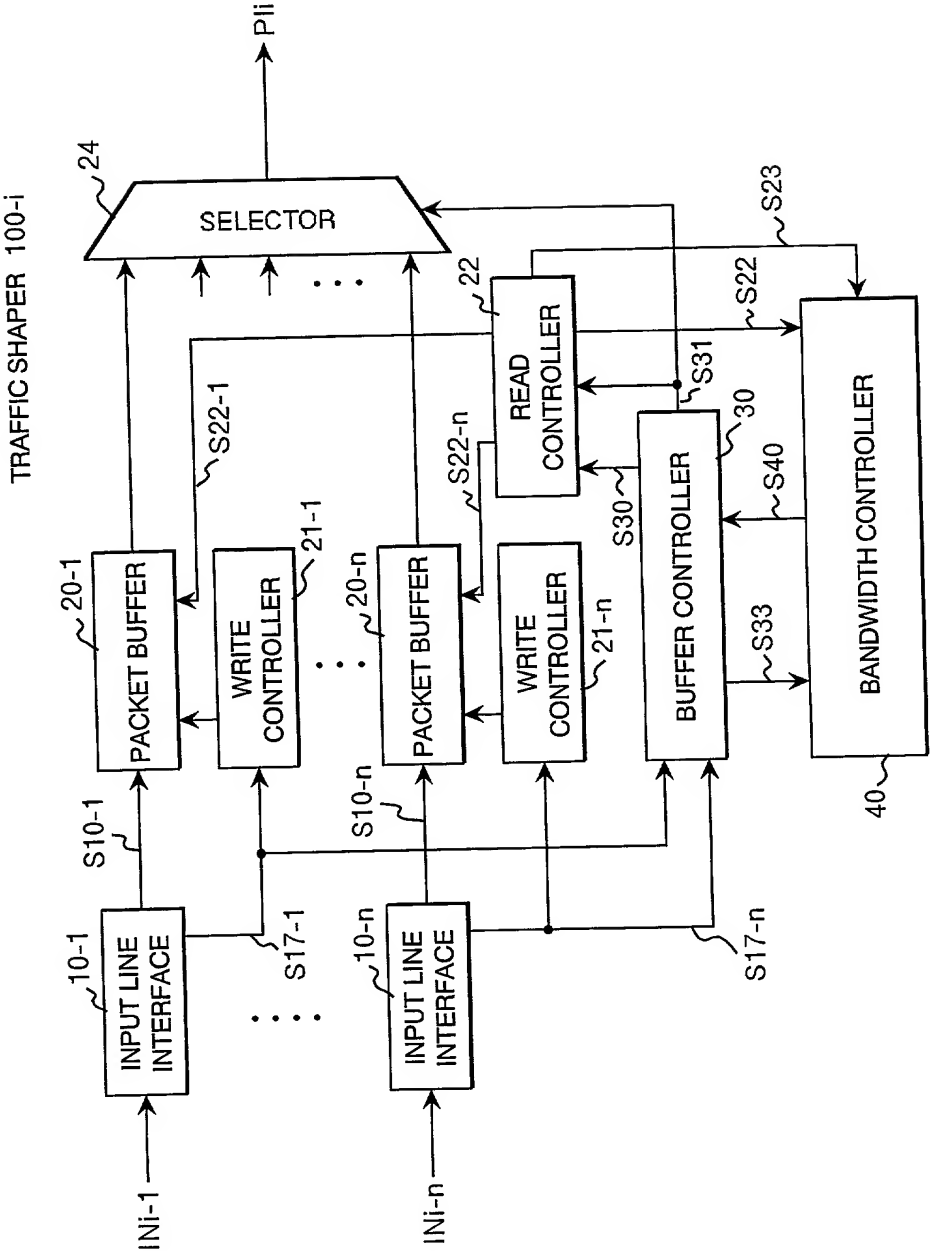


FIG. 3

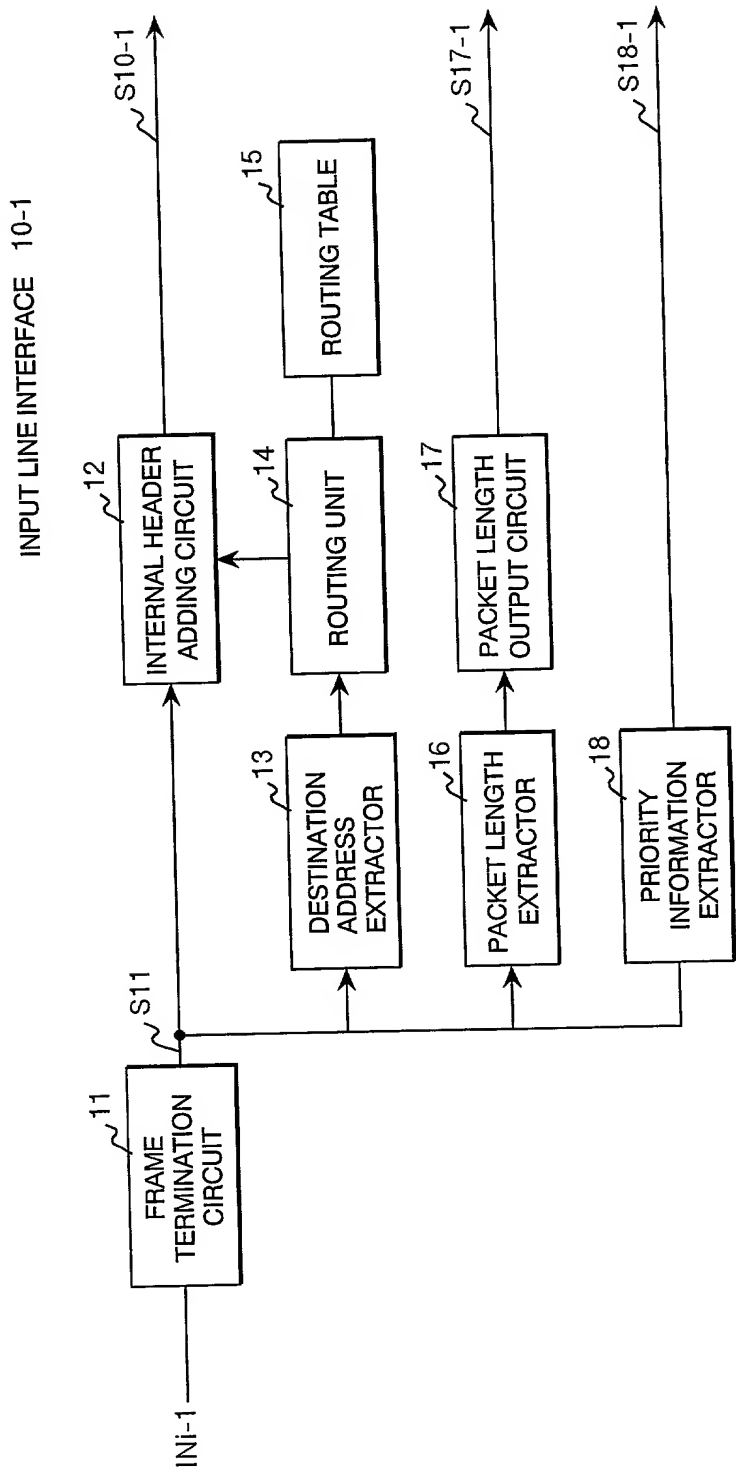


FIG. 4

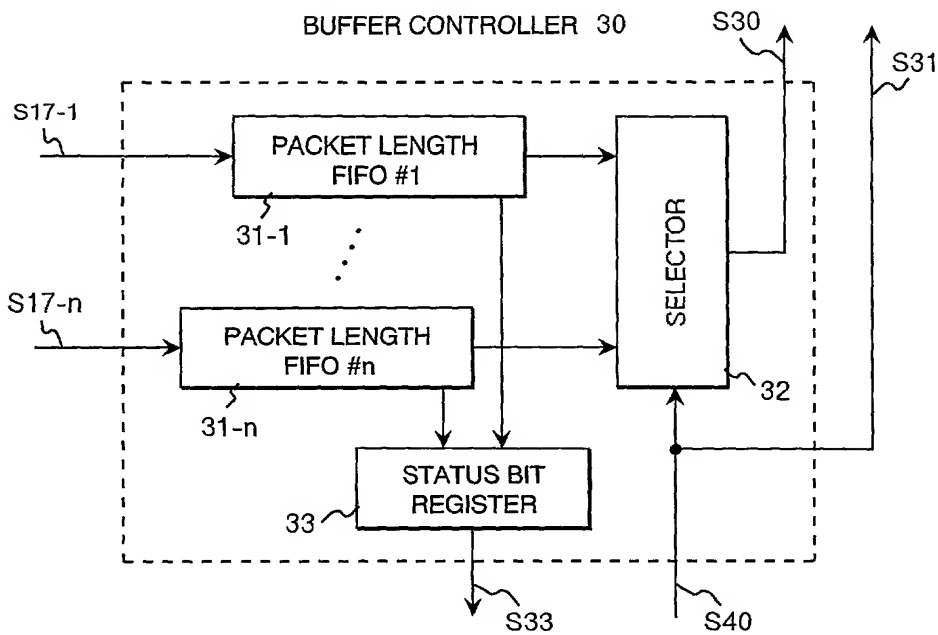


FIG. 5

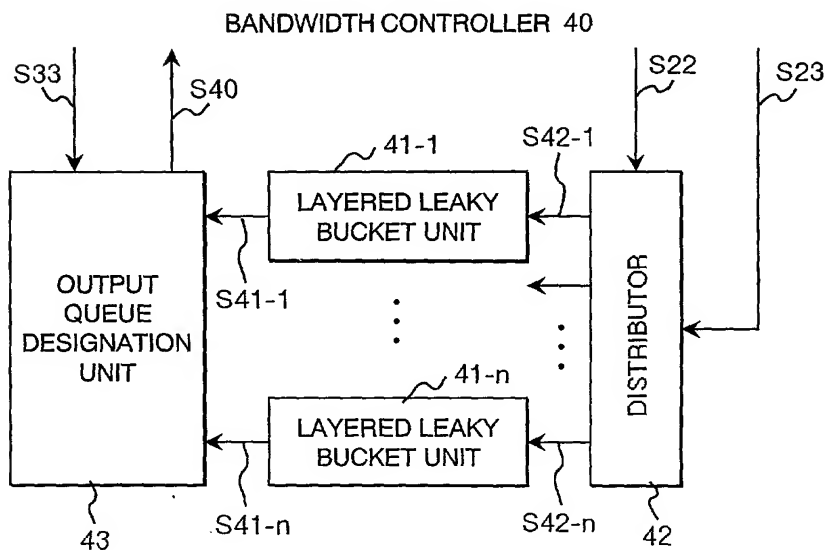
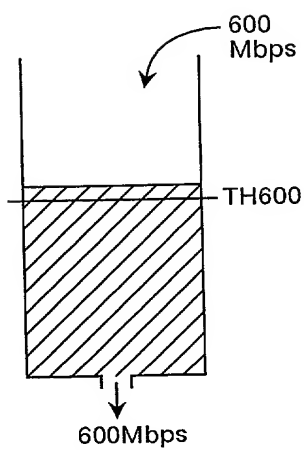
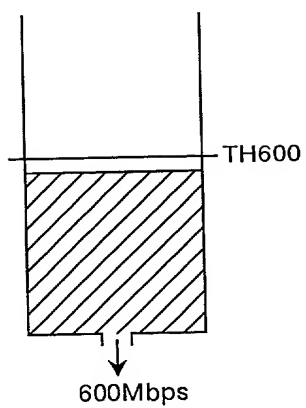
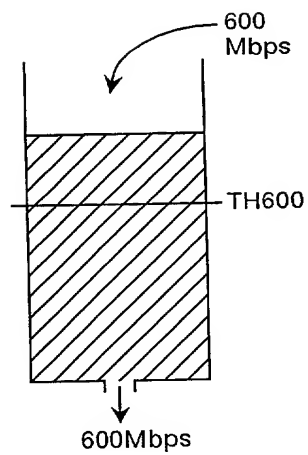
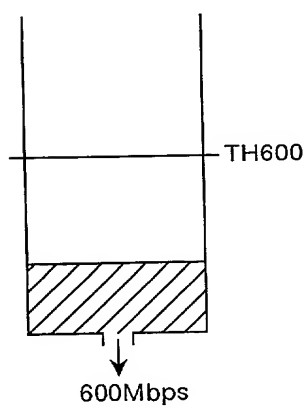
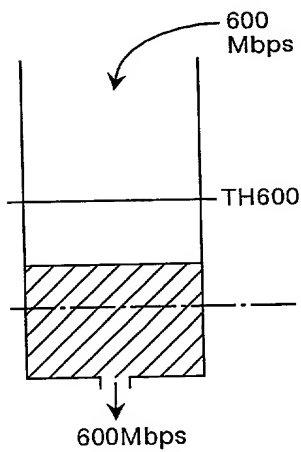
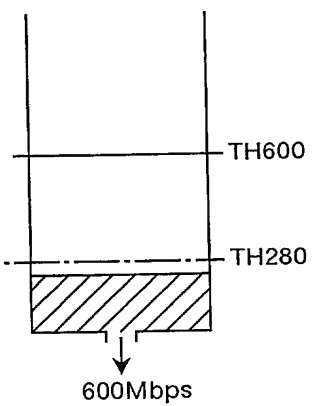


FIG. 6A**FIG. 6B****FIG. 6C****FIG. 6D****FIG. 6E****FIG. 6F**

6/14

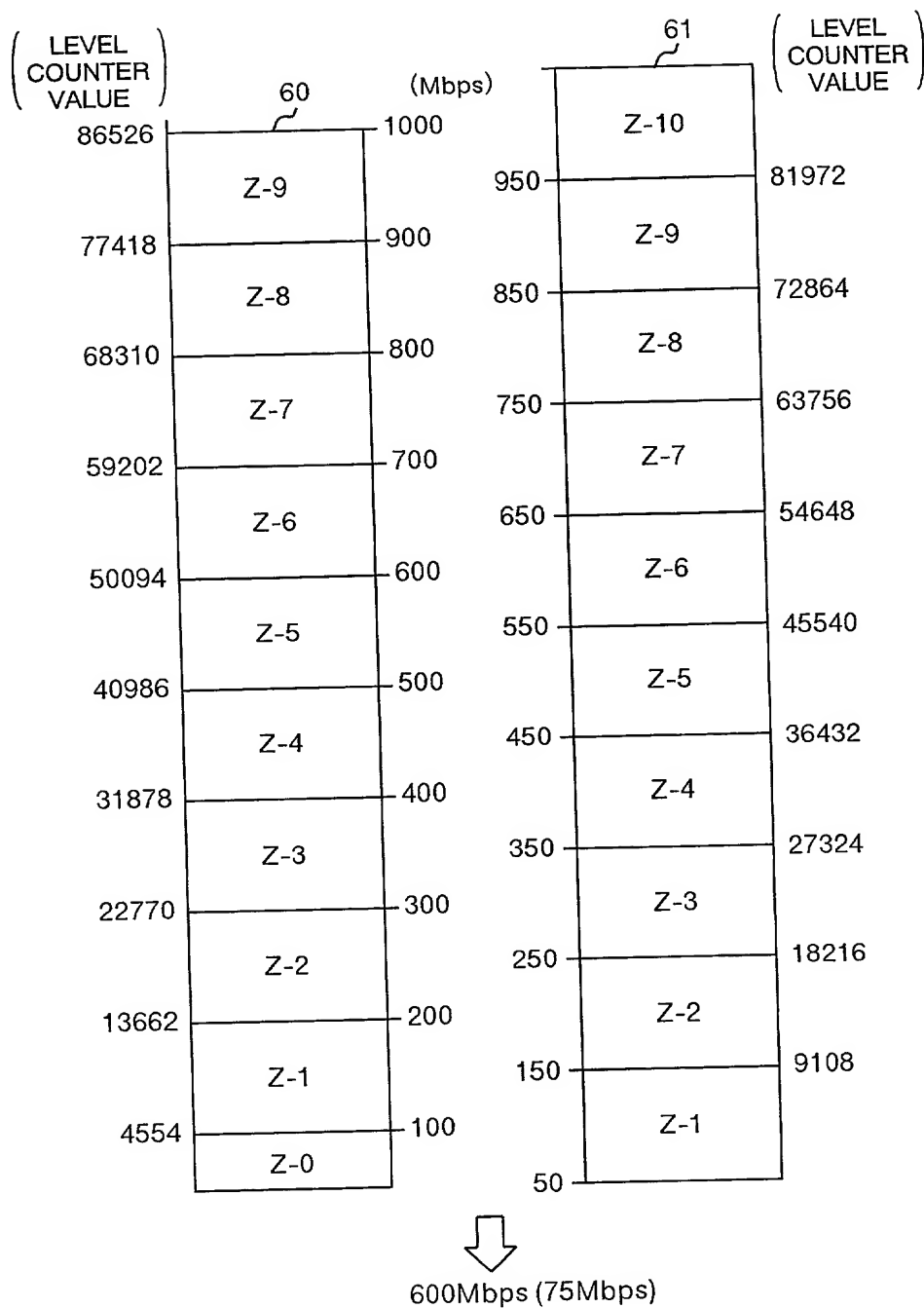
FIG. 7

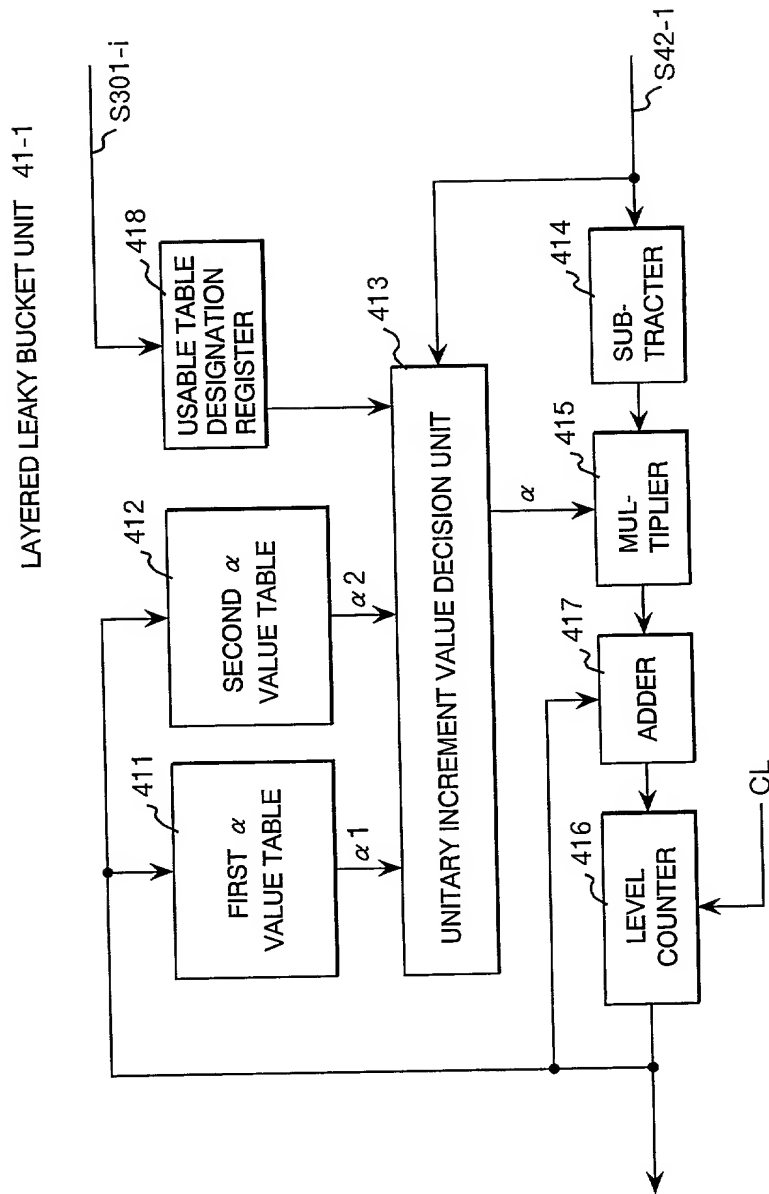
FIG. 8B

LEVEL RANGE	α
81972 ~	6/10 ~ Z-10
72864 ~ 81971	6/9 ~ Z-9
63756 ~ 72863	6/8 ~ Z-8
54648 ~ 63755	6/7 ~ Z-7
45540 ~ 54647	1 ~ Z-6
36432 ~ 45539	6/5 ~ Z-5
27324 ~ 36431	6/4 ~ Z-4
18216 ~ 27323	2 ~ Z-3
9108 ~ 18215	3 ~ Z-2
0 ~ 9107	6 ~ Z-1

FIG. 8A

LEVEL RANGE	α
86526 ~	6/10 ~ Z-10
77418 ~ 86525	6/9 ~ Z-9
68310 ~ 77417	6/8 ~ Z-8
59202 ~ 68309	6/7 ~ Z-7
50094 ~ 59201	1 ~ Z-6
40986 ~ 50093	6/5 ~ Z-5
31878 ~ 40985	6/4 ~ Z-4
22770 ~ 31877	2 ~ Z-3
13662 ~ 22769	3 ~ Z-2
4554 ~ 13661	6 ~ Z-1

FIG. 9



9/14

FIG. 10

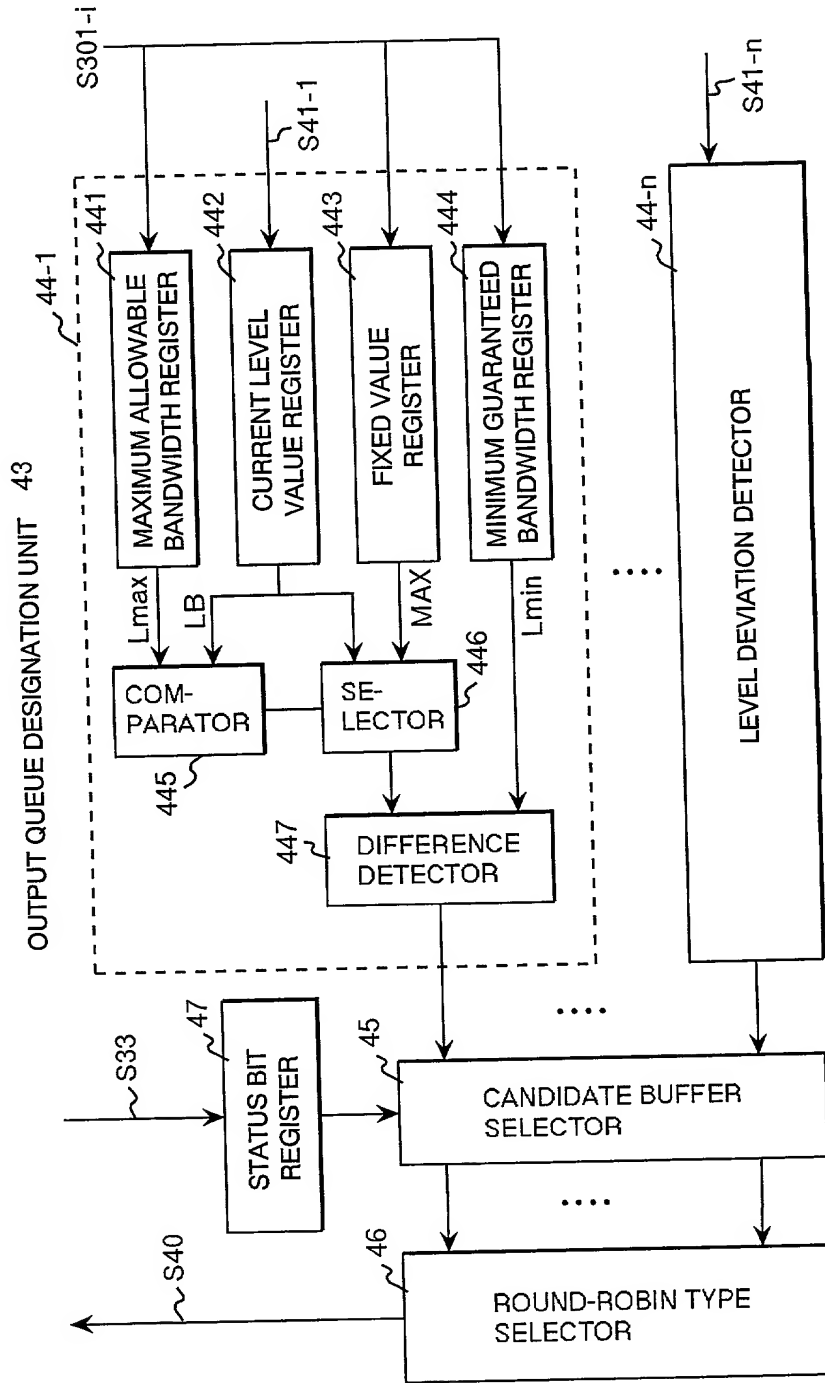
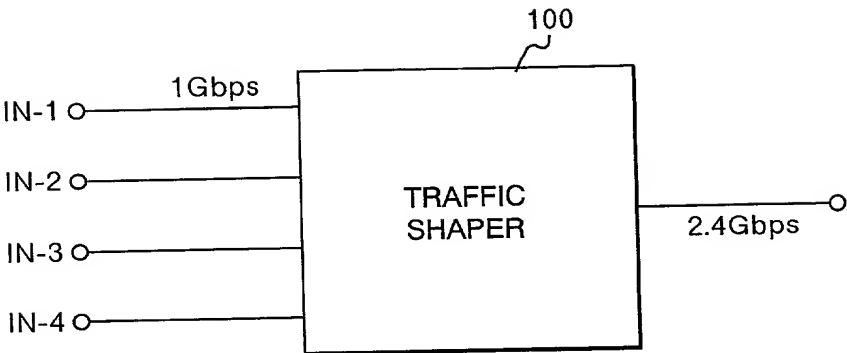


FIG. 11



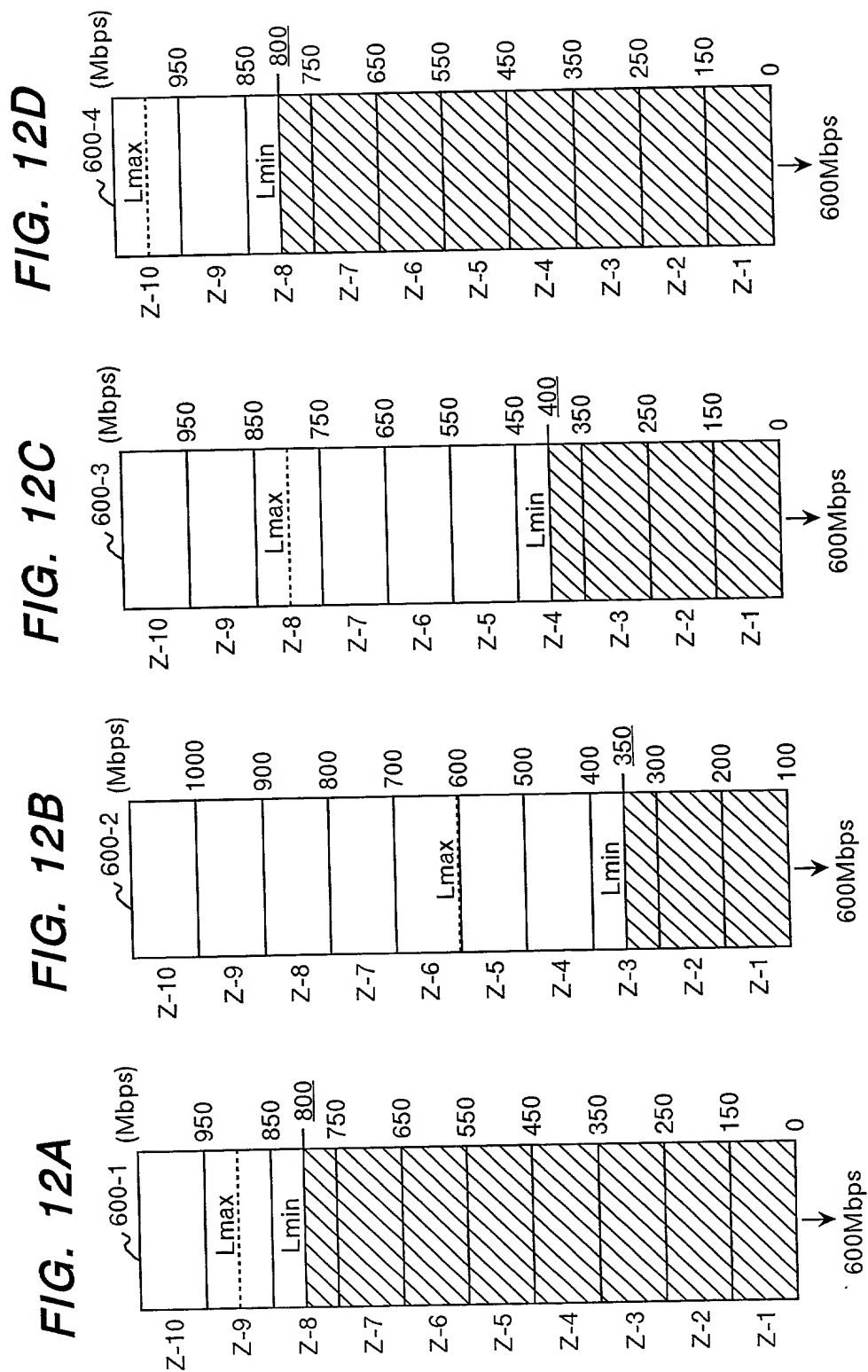


FIG. 13

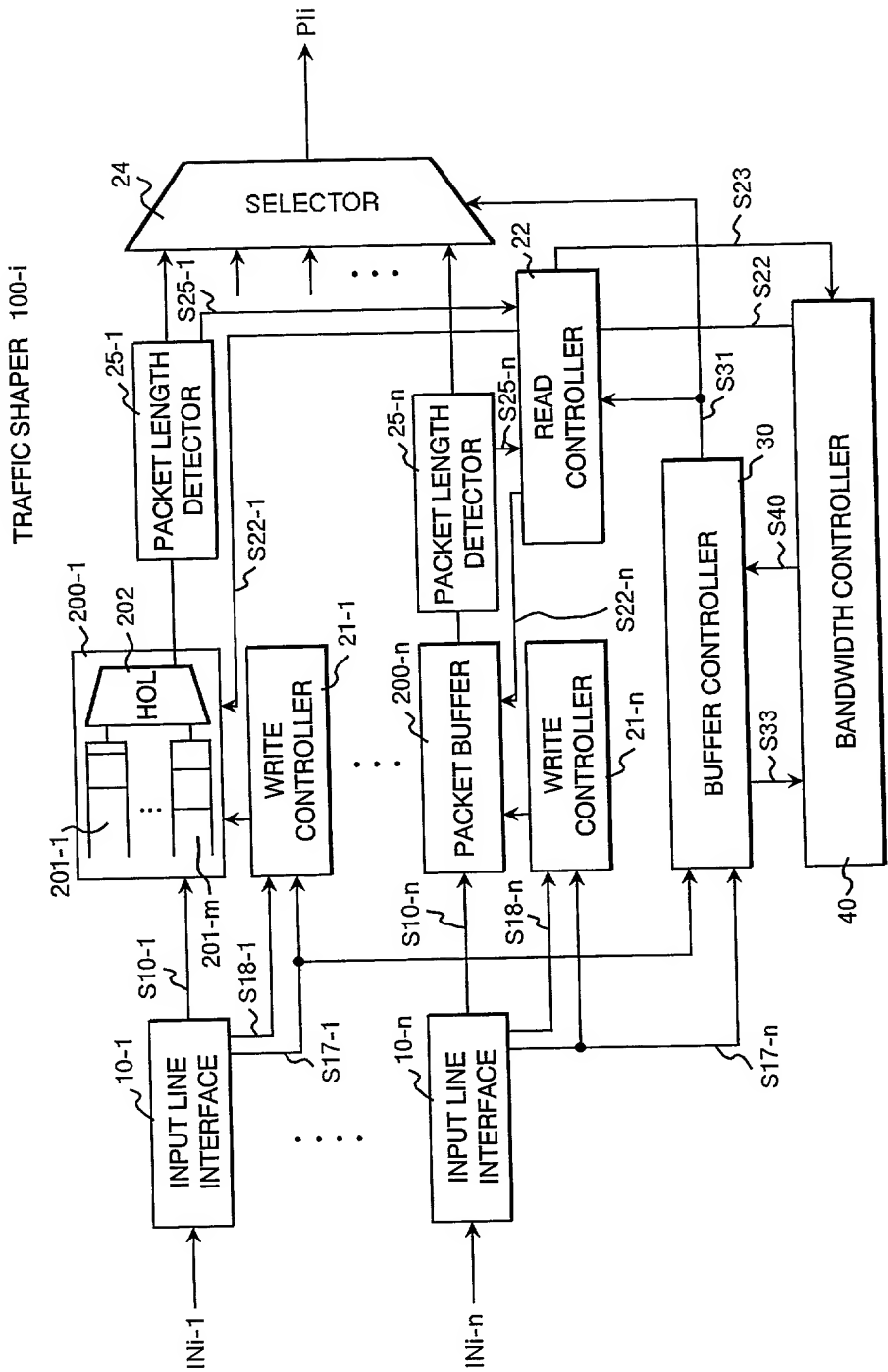


FIG. 14

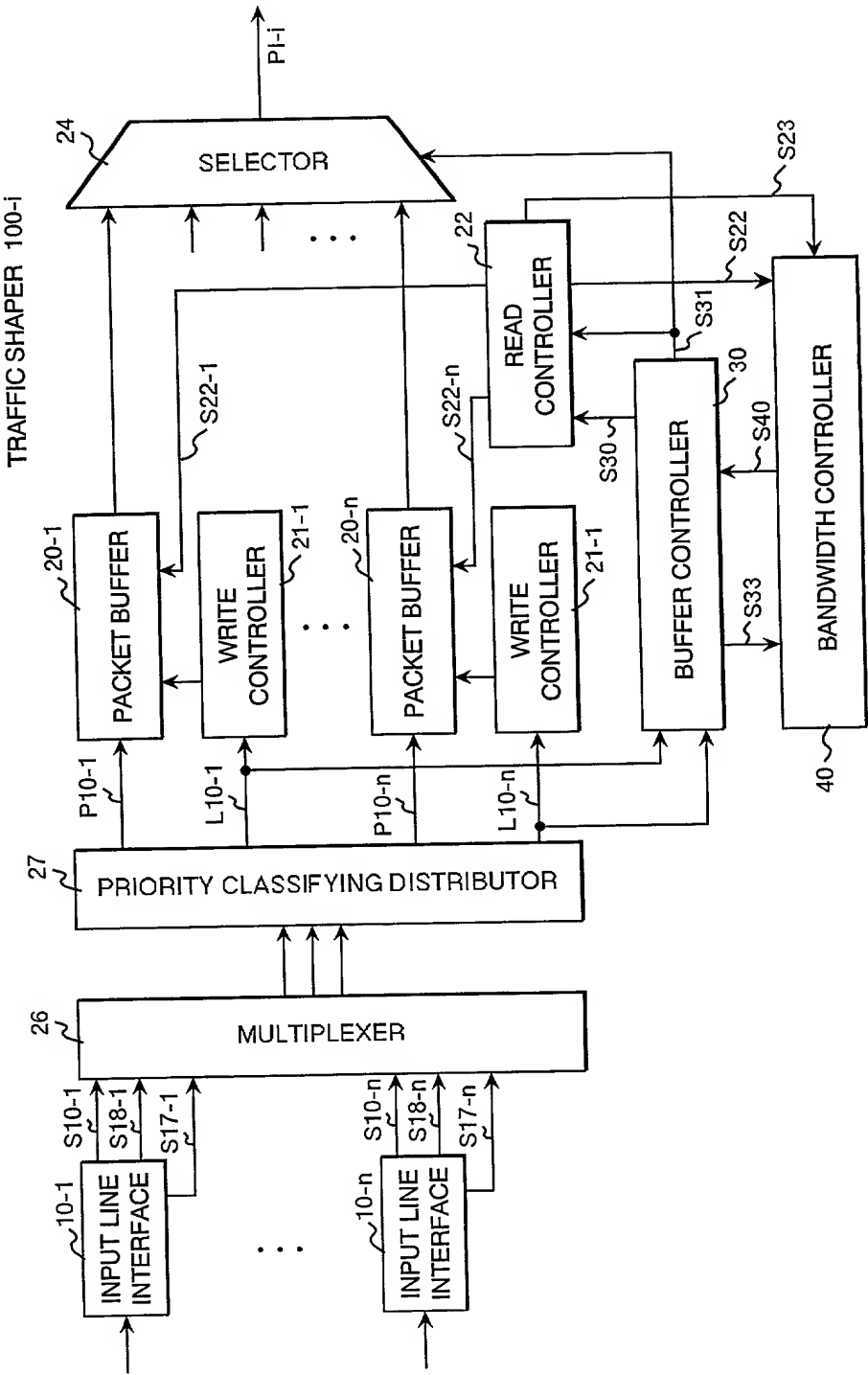


FIG. 15

